

การทำโครงสร้างผลึกไนโอเบียมนิเกิลฟอสไฟต์ (NbNiP)

โดยการเลี้ยวเบนรังสีเอกซ์



นาย สุรพล รักวิจัย

006053

วิทยานิพนธ์นี้เป็นส่วนหนึ่งของการศึกษาตามหลักสูตรปริชยมหาบัณฑิต

แผนกวิชาฟิสิกส์

บัณฑิตวิทยาลัย จุฬาลงกรณ์มหาวิทยาลัย

พ.ศ. ๒๕๑๔

STRUCTURE DETERMINATION OF NIOBIUM NICKEL PHOSPHIDE ( $\text{NbNiP}$ )

BY X-RAY DIFFRACTION

Mr. Surapol Rukvichai

A Thesis Submitted in Partial Fulfilment of the Requirements

for the Degree of Master of Science

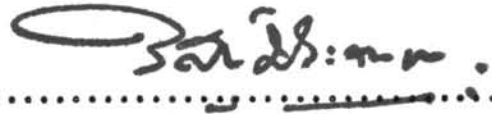
Department of Physics

Graduate School

Chulalongkorn University

1976


บัณฑิตวิทยาลัย จุฬาลงกรณ์มหาวิทยาลัย อนุมัติให้บัณฑิตวิทยาลัยนี้เป็นส่วนหนึ่ง  
ของการศึกษาตามหลักสูตรปริญญาโทบัณฑิต




(ศาสตราจารย์ ดร.วิศิษฐ์ ประจวบเหมาะ)

คณบดีบัณฑิตวิทยาลัย

คณะกรรมการตรวจวิทยานิพนธ์

.....  ..... ประธานกรรมการ  
(ผู้ช่วยศาสตราจารย์ สุพจน์ พรหมพิศ)

.....  ..... กรรมการ  
(ผู้ช่วยศาสตราจารย์ ดร.ศรีนวล ถนนอมกุล)

.....  ..... กรรมการ  
(นายณรงค์ สุขพัฒน์ศรี)

.....  ..... กรรมการ  
(ผู้ช่วยศาสตราจารย์ ดร.พิชญะ ภาวะนันท์)

อาจารย์ผู้ควบคุมการวิจัย

ผู้ช่วยศาสตราจารย์ ดร.พิชญะ ภาวะนันท์

ลิขสิทธิ์ของบัณฑิตวิทยาลัย

จุฬาลงกรณ์มหาวิทยาลัย

---

หัวข้อวิทยานิพนธ์      การทำโครงสร้างผลึกในไอออนิซึมไนโอเบียมนิเกิลฟอสไฟต์ (NbNiP) โดยการ  
   เลี้ยวเบนรังสีเอกซ์  
โดย                              นายสุรพล รักรวิชัย  
แผนกวิชา                      ฟิสิกส์

หัวข้อวิทยานิพนธ์                      การหาโครงสร้างผลึกในโอเบียมนิเกิลฟอสไฟต์ (NbNiP)  
 โดยการเลี้ยวเบนรังสีเอกซ์

ชื่อ    นายสุรพล รักษ์วิจัย                      แผนกวิชาฟิสิกส์

ปีการศึกษา                                      ๒๕๑๔



บทคัดย่อ

จากการใช้รังสีเอกซ์ศึกษาข้อมูลทางผลึกวิทยาของผลึกในโอเบียมนิเกิลฟอสไฟต์ (NbNiP) โดยการถ่ายภาพออสซิลเลชันและไวซเซนเบอร์ก พบว่าผลึกอยู่ในระบบออร์โธโรมบิก มีหมู่สมมาตรสามมิติเป็น  $Pnma$  และค่าคงที่หนึ่งหน่วยเซลล์เป็น

$$\begin{aligned}
 a &= 6.074 \pm 0.03 && \text{แองสเทริม} \\
 b &= 3.542 \pm 0.15 && \text{แองสเทริม} \\
 c &= 7.107 \pm 0.02 && \text{แองสเทริม}
 \end{aligned}$$

ในหนึ่งหน่วยเซลล์ประกอบด้วยโมเลกุลของผลึก 4 โมเลกุล ความหนาแน่นผลึกที่วัดและคำนวณได้มีค่าเป็น  $7.41 \pm 0.06$  และ  $7.822$  กรัมต่อ ลบ.ซม. ตามลำดับ

โดยการพิจารณาหมู่สมมาตรสามมิติ และจำนวนโมเลกุลในหนึ่งหน่วยเซลล์สามารถระบุตำแหน่งอะตอมได้ว่าอยู่ที่ตำแหน่งพิเศษ c บนระนาบมिरเรอร์ (mirror plane) การหาตำแหน่งอะตอมใช้วิธีแพทเทอร์สัน การคำนวณปรับตำแหน่งอะตอมใช้วิธีค่ากำลังสองน้อยที่สุดด้วยความเข้มจุดสะท้อนจากระนาบ (reflecting plane)  $h0l$  และ  $h1l$  จำนวน 106 และ 118 ระนาบให้ผลค่า R ครั้งสุดท้ายเป็น 0.091 ข้อมูลโครงสร้างของ NbNiP คือ

อะตอม	x	$\sigma(x)$	y	z	$\sigma(z)$	B	$\sigma(B)$
Nb	0.0221	0.0003	0.2500	0.1683	0.0002	0.15	0.02
Ni	0.1471	0.0004	0.2500	0.5662	0.0004	0.47	0.02
P	0.2805	0.0009	0.2500	0.8765	0.0008	0.30	0.06

โครงสร้างของ NbNiP เป็นแบบ anti-PbCl<sub>2</sub> เมื่อเทียบโครงสร้าง NbNiP กับ PbCl<sub>2</sub> อะตอมโลหะและอะตอมอโลหะในโครงสร้างทั้งสองอยู่สลับที่ซึ่งกันและกัน โคออร์ดิเนชันของ P เป็น 9 เช่นเดียวกับของ Pb ในโครงสร้าง PbCl<sub>2</sub> โดยมี 6 อะตอมจัดตัวเป็นปริซึมสามเหลี่ยมที่บิดไปเล็กน้อย และมีอีก 3 อะตอมอยู่ตรงกลางหน้าตั้งทั้งสามของปริซึม ระยะระหว่างอะตอม (interatomic distance) ที่มากที่สุดจาก P ไปยังอะตอมอื่นที่ระบุเป็น 2.615 แองสเทริม

อะตอม Ni ถูกล้อมรอบด้วย P 4 อะตอมอยู่ที่มุมทั้งสี่ของเตทราฮีดรอน (tetrahedron) ที่บิดไปเล็กน้อย ความยาวบอนด์ (bond length) ที่มากที่สุดของ Ni กับอะตอมเหล่านั้นเป็น 2.347 แองสเทริม หรืออาจพิจารณาสภาพโคออร์ดิเนชันของ Ni ว่าเหมือนกับ Cl (2) ใน PbCl<sub>2</sub> ได้ ซึ่ง Ni จะมีโคออร์ดิเนชันเป็น 12 และสภาพโคออร์ดิเนชันเป็นปริซึมสี่เหลี่ยมมีอะตอม 4 อะตอม อยู่ตรงกลางหน้าตั้งของปริซึม โดยระยะระหว่างอะตอมที่มากที่สุดจาก Ni เป็น 2.923 แองสเทริม

โคออร์ดิเนชันของ Nb อาจคิดได้ว่าเป็น 12 ซึ่งมีสภาพโคออร์ดิเนชันเป็นปริซึมห้าเหลี่ยมและมีอีก 2 อะตอม ยื่นออกจากกลางหน้าตั้งที่ติดกัน ระยะระหว่างอะตอมที่มากที่สุดจาก Nb เป็น 2.995 แองสเทริม หรืออาจจะเลือกคิดว่าสภาพโคออร์ดิเนชันของ Nb ว่าเหมือนกับ Cl (1) ใน PbCl<sub>2</sub> ได้โดย Nb จะมีโคออร์ดิเนชันเป็น 15 และสภาพโคออร์ดิเนชันยังคงเป็นปริซึมห้าเหลี่ยม แต่มีอะตอมอีก 5 อะตอม ยื่นออกจากหน้าตั้งห้าของปริซึม ระยะระหว่างอะตอมที่มากที่สุดจาก Nb เป็น 3.266 แองสเทริม

Thesis Title      Structure Determination of Niobium Nickel Phosphide (NbNiP)  
by X-ray Diffraction

Name                Mr. Surapol Rukvichai, Department of Physics

Academic Year    1976

### Abstract

X-ray crystallographic data of Niobium Nickel Phosphide (NbNiP) were determined from oscillation and Weissenberg photographs.

The crystal belongs to the orthorhombic<sup>system</sup> with Pnma space group.

The cell dimensions are

$$\begin{aligned} a &= 6.074 \pm 0.03 \text{ \AA} \\ b &= 3.542 \pm 0.15 \text{ \AA} \\ c &= 7.107 \pm 0.02 \text{ \AA} \end{aligned}$$

The number of formula unit in the unit cell was found to be four.

The observed and calculated densities at 22.5 °C are  $7.41 \pm 0.06$  and 7.822 gm/c.c., respectively

All of the atoms in the unit cell were established by considering the space group and the cell content requirement to be in special position c on the mirror plane. The atomic positions were solved by using the Patterson method. The refinement employing least-squares method converged satisfactorily, and the final R-value for the 106 and 118 observed  $h0l$  and  $h1l$  reflections was 0.091. The final structure data of NbNiP are

atom	x	$\sigma(x)$	y	z	$\sigma(z)$	B	$\sigma(B)$
Nb	0.0221	0.0003	0.2500	0.1683	0.0002	0.15	0.02
Ni	0.1471	0.0004	0.2500	0.5662	0.0004	0.47	0.02
P	0.2805	0.0009	0.2500	0.8765	0.0008	0.30	0.06

v

The structure of NbNiP was found to be an anti-PbCl<sub>2</sub> type. Thus, in the structure of NbNiP and PbCl<sub>2</sub>, the metal atoms will occupy the positions of the nonmetal atoms and vice versa.

The coordination number of P is 9 which is as that of Pb in PbCl<sub>2</sub>-structure. There are six atoms arranging as a slightly distorted trigonal prism with three atoms locating beyond the centers of the three vertical faces, with the maximum interatomic distance from P to the other atoms of 2.615 Å.

The Ni atom is surrounded by 4 nearest P atoms arranged at the corners of a slightly distorted tetrahedron, the maximum bond length from Ni being 2.347 Å. The Ni atom can also be considered as an equivalent of Cl (2) in PbCl<sub>2</sub> whose coordination number is 12. Its coordination configuration is a quadrangular prism with 4 atoms locating beyond the centers of four vertical faces, the maximum interatomic distance from Ni being then 2.923 Å.

The coordination number of Nb is 12. Its coordination configuration is a pentagonal prism with 2 more atoms protruding from adjacent faces, the maximum interatomic distance from Nb being 2.995 Å. The Nb atom can also be considered as an equivalent of Cl (1) in PbCl<sub>2</sub> whose coordination number is 15. Its coordination configuration is still a pentagonal prism with 5 atoms protruding from all vertical faces, the maximum interatomic distance from Nb being then 3.266 Å.

กติกรรมประกาศ

วิทยานิพนธ์นี้สำเร็จลงได้ด้วยความกรุณาของอาจารย์ ผศ.ดร.พัฒนา ภาชนะนันท์  
ซึ่งให้การปรึกษา คำแนะนำ และความช่วยเหลืออย่างดียิ่ง จึงขอขอบพระคุณท่านไว้ ณ ที่นี้

การทำวิจัยนี้ได้รับคำแนะนำการใช้เครื่องมือในห้องปฏิบัติการรังสีเอกซ์แผนกวิชา  
ฟิสิกส์จากอาจารย์ ผศ.สุพจน์ พรหมหัตถ์ อาจารย์ ผศ.ดร.ศรีนวล ถนอมกุล และ  
อาจารย์ศรี โฉมนิลพันธ์ ผู้เขียนจึงขอขอบพระคุณอาจารย์ทุกท่าน และขอขอบพระคุณ  
ทางศูนย์คอมพิวเตอร์ศาสตร์ จุฬาลงกรณ์มหาวิทยาลัย ที่ได้อนุญาตให้ใช้บริการ

อนึ่ง ในระหว่างการศึกษา ผู้เขียนได้รับทุนการศึกษาจากโครงการพัฒนามหาวิทยาลัย  
จึงขอขอบพระคุณต่อโครงการฯ ไว้ ณ ที่นี้ด้วย





สารบัญ

หน้า

บทคัดย่อ .....	ค
กติกรรมประกาศ .....	จ
รายการตารางประกอบ .....	ช
รายการรูปประกอบ .....	ฉ



บทที่

1. บทนำ .....	1
2. ทฤษฎีการเลี้ยวเบนรังสีเอกซ์และทฤษฎีการหาโครงสร้าง .....	2
2.1 การเลี้ยวเบนรังสีเอกซ์โดยผลึก .....	2
2.1.1 เงื่อนไขการเลี้ยวเบนรังสีเอกซ์ของลาวาอี .....	3
2.1.2 กฎของแบรกก์ .....	6
2.2 ความสัมพันธ์ระหว่างเงื่อนไขของลาวาอี กฎของแบรกก์ กับวิธีพีเรอเคลแลทิส .....	6
2.3 ทฤษฎีสทริกเจอร์แฟคเตอร์และความหนาแน่นอิเล็กตรอน .....	9
2.3.1 สทริกเจอร์แฟคเตอร์ .....	9
2.3.2 ความหนาแน่นอิเล็กตรอน .....	13
2.4 ทฤษฎีแพทเทอร์สันฟังก์ชันและการหาตำแหน่งอะตอม .....	14
2.4.1 แพทเทอร์สันฟังก์ชัน .....	14
2.4.2 การหาตำแหน่งอะตอม .....	17
3. เครื่องมือและหลักการการทดลอง .....	19
3.1 เครื่องมือและอุปกรณ์การทดลอง .....	19
3.2 หลักการการทดลอง .....	26
3.2.1 การถ่ายภาพออสซิลเลชัน .....	26
3.2.2 การถ่ายภาพไวซเซนเบอร์ก .....	28
3.2.3 การถ่ายภาพลาวาอี .....	35

บทที่	หน้า
4. การทดลอง	36
4.1 การเลือกผลึกการติดตั้งผลึกและการปรับแกนผลึกเดี่ยว	36
4.2 การถ่ายภาพเลี้ยวเบนรังสีเอกซ์	39
4.2.1 ถ่ายภาพออสซิลเลชัน	39
4.2.2 ถ่ายภาพไวซเซนเบอร์ก	39
4.2.3 ถ่ายภาพลาวี	40
4.3 การตรวจสอบหมู่สมมาตรสามมิติและการรวบรวมข้อมูลความเข้ม	46
4.3.1 การตรวจสอบหมู่สมมาตรสามมิติ	46
4.3.2 การรวบรวมข้อมูลความเข้ม	48
5. การคำนวณโครงสร้าง	51
5.1 การเตรียมการคำนวณ	51
5.2 คำนวณขนาดสทริกเจอร์แฟคเตอร์	52
5.3 การหาตำแหน่งอะตอม	56
5.4 การคำนวณปรับตำแหน่งอะตอม	59
5.4.1 การคำนวณปรับตำแหน่งอะตอมตามวิธีของบูธ	60
5.4.2 การคำนวณปรับตำแหน่งด้วยวิธีค่ากำลังสองน้อยที่สุด	61
6. ผลการทดลอง	64
6.1 ระบบผลึก หมู่สมมาตรสามมิติ และขนาดหนึ่งหน่วยเซลล์	64
6.2 โครงสร้างผลึก	65
7. สรุปและวิจารณ์	73
ภาคผนวก	77
บรรณานุกรม	86
ประวัติการศึกษา	88

## รายการตารางประกอบ

ตาราง	หน้า
4.1 ค่าที่ใช้ในการจัดเครื่องมือถ่ายภาพไวซเซน เบอร์ก ... .. .	40
5.1 ตำแหน่งทั่วไป ... .. .	52
5.2 ตำแหน่งพิเศษ $c$ ... .. .	52
5.3 แสดงการคำนวณ $\mu$ และ $\mu r$ ... .. .	54
5.4 ค่าแก้การดูดกลืนรังสีของผลึก NbNiP ( $\mu r=0.3$ ) ... .. .	55
5.5 เวกเตอร์ระหว่างอะตอม ... .. .	56
5.6 ตำแหน่งอะตอมแต่ละธาตุในเซลล์ ... .. .	59
5.7 ตำแหน่งอะตอมหลังจากคำนวณตามวิธีของบูธ ... .. .	61
5.8 โคออร์ดิเนต และ B ของแต่ละอะตอมหลังจากคำนวณ 3 ครั้งแรก	62
5.9 ค่า $\beta_{ij}$ ที่คำนวณได้ ... .. .	63
5.10 แสดงโคออร์ดิเนตและ B ขั้นสุดท้าย ... .. .	63
6.1 เงื่อนไขการปรากฏจุดสะท้อน ... .. .	64
6.2 ความยาวแกนและมุมระหว่างแกนของผลึก ... .. .	65
6.3 ตำแหน่งอะตอมและเทอร์เมลเพอแรมิเทอร์ของแต่ละอะตอม ... .. .	65
6.4 ตำแหน่งอะตอมในสภาพโคออร์ดิเนชันของอะตอม Nb Ni และ P	66
6.5 ความยาวบอนด์ของสภาพโคออร์ดิเนชันของอะตอม Nb Ni และ P	68-69
6.6 ระยะระหว่างอะตอมและความเบี่ยงเบนมาตรฐาน ... .. .	70
6.7 มุมระหว่างบอนด์ในสภาพโคออร์ดิเนชันของอะตอม Nb Ni และ P	71-72
7.1 สภาพโคออร์ดิเนชันของ $Co_2P$ และ $Co_2Si$ ... .. .	73

## รายการรูปประกอบ

รูปที่	หน้า
2.1 แสดงทิศทางการเลี้ยวเบนรังสีเอกซ์ใน 1 มิติ ... .. .	3
2.2 แสดงกรวยการเลี้ยวเบนลำดับต่าง ๆ $(0, \pm 1)$ ... .. .	4
2.3 แสดงทิศรังสีเลี้ยวเบนเนื่องจากอะตอม ... .. .	5
2.4 แสดงการสะท้อนของรังสีตามกฎของแบรกก์ ... .. .	6
2.5 แสดงกฎของแบรกก์ในเชิงเรขาคณิต ... .. .	7
2.6 แสดงความสัมพันธ์ กฎของแบรกก์กับรีซิฟ เรอเคลแลททิส ... .. .	9
2.7 แสดงเฟสดีฟเฟอเรนซ์ของรังสีเลี้ยวเบน ... .. .	10
2.8 ผลรวมแบบเวกเตอร์ของรังสีเลี้ยวเบนจากอะตอมแต่ละอะตอม ...	11
2.9 แสดงความสัมพันธ์ตำแหน่ง $\theta$ และ $P$ ... .. .	16
3.1 ลักษณะหลอดรังสีเอกซ์และแผนผังระบบระบายความร้อนด้วยน้ำเย็น..	20
3.2 ลักษณะหัวโกนิออมมิเตอร์และลักษณะกล้องไวซเซนเบอร์ก ... ..	22
3.3 ลักษณะกัลกฟิล์มและลักษณะที่กันรังสี ... .. .	23
3.4 ลักษณะที่กันเลย์เออร์ไลน์ ... .. .	24
3.5 ลักษณะกล้องส่องฟิล์ม ... .. .	24
3.6 แสดงการหมุนผลึกนําระนาบแลททิส แนวรังสีตกลงบนฟิล์ม และ เลย์เออร์ไลน์ของการถ่ายภาพออสซิลเลชัน ... .. .	27
3.7 แสดงการจัดเครื่องมือ การปรากฏจุดสะท้อนบนฟิล์ม เมื่อกลื่นออกและ ความสัมพันธ์ $I$ กับ $x$ เมื่อฟิล์มมันของการถ่ายภาพไวซเซนเบอร์ก	29
3.8 แสดงลักษณะทางเรขาคณิตของการถ่ายภาพไวซเซนเบอร์ก แบบรังสี ตั้งฉากกับแกนหมุน และแบบรังสีทำมุมกับแนวรังสีเดิมที่ตั้งฉาก กับแกนหมุน ... .. .	32
3.9 แสดงประเภทรีซิฟ เรอเคลแลททิสแบบผ่านจุดศูนย์กลาง และแบบ ไม่ผ่านจุดศูนย์กลาง ... .. .	32

รูปที่

หน้า

3.10	แสดงแนวจุดสะท้อนของรีซิฟ เรอ เคลที่ผ่านจุดศูนย์กลางของแลททิส (สำหรับเลย์เออร์ที่ 0) ... .. .	33
3.11	แสดงแนวจุดสะท้อนของรีซิฟ เรอ เคลแลททิสทั้งสองแบบ ... .. .	33
4.1	แสดงลักษณะการติดตั้งผลึก ... .. .	36
4.2	แสดงมุมและทิศทางที่ต้องปรับอาร์ค ... .. .	37
4.3	แสดงการหาค่ามุมสำหรับการปรับแกนหมุนอย่างละเอียด ... .. .	38
4.4	ภาพถ่ายการเลี้ยวเบนรังสีเอกซ์แบบออสซิลเลชัน ลาวอิ และไวเซนเบอร์ก ... .. .	41-45
4.5	รีซิฟ เรอ เคลแลททิสเพื่อตรวจสอบหมู่สมมาตรสามมิติ ... .. .	47-48
4.6	รีซิฟ เรอ เคลแลททิสแสดงจุดสะท้อนของเลย์เออร์ $h0l$ กับ $h1l$ ... .	49
5.1	แผนภาพแพทเทอर्सแสดงเวคเตอร์ระหว่างอะตอม Nb ... .. .	58
5.2	แผนภาพแสดงตำแหน่งอะตอม Nb Ni และ P ในหนึ่งหน่วยเซลล์ ... ..	58
5.3	แสดงการพิจารณาความหนาแน่นอิเล็กตรอน ... .. .	60
6.1	ลักษณะสภาพโคออร์ดิเนชันของอะตอม Nb Ni และ P ... .. .	66
7.1	ลักษณะโครงสร้างของ $PbCl_2$ $NbNiP$ และ $Co_2Si$ ... .. .	74